



doi:10.7659/j.issn.1005-6947.2014.10.013  
http://www.zpwz.net/CN/abstract/abstract4070.shtml

· 基础研究 ·

# microRNA-139-5p 及其靶基因 Notch1 在结直肠癌中的作用

廖信芳<sup>1</sup>, 李正荣<sup>2</sup>, 杨清水<sup>1</sup>, 张乡城<sup>2</sup>, 李柱<sup>1</sup>, 揭志刚<sup>2</sup>

(1. 南方医科大学附属南海医院 普外二科, 广东 佛山 528200; 2. 南昌大学第一附属医院 胃肠外科, 江西南昌 330006)

## 摘要

**目的:** 探讨 microRNA-139-5p (miR-139-5p) 在结直肠癌中的表达及其对结直肠癌细胞转移和侵袭的影响。

**方法:** 用荧光定量 PCR 方法检测 miR-139-5p 在结直肠癌组织与不同结直肠癌细胞株中的表达变化; 用 Boyden 小室分析和伤口愈合实验检测 miR-139-5p 转染及 miR-139-5p 抑制对结直肠癌细胞转移和侵袭能力的影响; 生物信息学方法预测 miR-139-5p 的靶基因, 并采用荧光素酶报告基因实验验证, Western blot 方法检测 miR-139-5p 转染对靶基因表达的影响。

**结果:** 与各自的正常对照组比较, 结直肠癌组织与结直肠癌细胞系中 miR-139-5p 表达均明显降低 ( $P < 0.05$ )。结直肠癌 DLD1 细胞和 HCT116 细胞转染 miR-139-5p 后, 转移与侵袭能力均明显降低 (均  $P < 0.05$ ), 而 miR-139-5p 抑制剂处理后, 两种细胞的侵袭能力均明显增强 (均  $P < 0.05$ )。生物信息学预测显示, Notch1 是 miR-139-5p 的靶基因, 且得到荧光素酶报告实验结果证实。Western blot 结果显示, 转染 miR-139-5p 后, 结直肠癌 DLD1 细胞和 HCT116 细胞中 Notch1 蛋白表达均明显下调 (均  $P < 0.05$ )。

**结论:** miR-139-5p 可能通过调节 Notch1 的表达而抑制肿瘤细胞的转移和侵袭, 而下调的 miR-139-5p 可能在结直肠癌的发生发展中起了重要作用。 [中国普通外科杂志, 2014, 23(10):1373-1378]

## 关键词

结直肠肿瘤; 微 RNAs; miR-139-5p; Notch1  
中图分类号: R735.3

## Role of microRNA-139-5p and its target gene Notch1 in colorectal cancer

LIAO Xinfang<sup>1</sup>, LI Zhengrong<sup>2</sup>, YANG Qingshui<sup>1</sup>, ZHANG Xiangcheng<sup>2</sup>, LI Zhu<sup>1</sup>, JIE Zhigang<sup>2</sup>

(1 The Second Department of General Surgery, Affiliated Nanhai Hospital, Southern Medical University, Guangzhou 528200, China;

2. Department of Gastrointestinal Surgery, the First Affiliated Hospital, Nanchang University, Nanchang 330006, China)

Corresponding author: LIAO Xinfang, Email: xfman8888@163.com

## ABSTRACT

**Objective:** To investigate the effect of microRNA-139-5p (miR-139-5p) expression in colorectal cancer and its influence on migration and invasion ability of colorectal cancer cells.

**Methods:** The expression alteration of miR-139-5p in colorectal cancer tissue and different colorectal cancer cell lines were detected by using fluorescent quantitative PCR. The influence of miR-139-5p transfection or miR-139-5p inhibitor treatment on migration and invasion ability of colorectal cancer cells were detected by Boyden chamber assay and wound healing assay. The target gene of miR-139-5p was predicted by bioinformatics analysis

收稿日期: 2014-08-14; 修订日期: 2014-09-13。

作者简介: 廖信芳, 南方医科大学附属南海医院副主任医师, 主要从事胃肠道肿瘤疾病方面的研究。

通信作者: 廖信芳, Email: xfman8888@163.com

and was identified by luciferase reporter assay, and then the influence of miR-139-5p transfection on its target gene expression was determined by Western blot analysis.

**Results:** The miR-139-5p mRNA expressions in both colorectal cancer tissue and colorectal cancer cell lines were significantly decreased compared with corresponding control (all  $P < 0.05$ ). The migration and invasion ability in colorectal cancer DLD1 and HCT116 cells were significantly decreased after miR-139-5p transfection and were significantly increased after miR-139-5p inhibitor treatment (all  $P < 0.05$ ). Bioinformatics analysis showed that Notch1 was the potential target gene of miR-139-5p which was then identified by luciferase reporter assay. Western blot results showed that Notch1 protein expressions in DLD1 and HCT116 cells were significantly down-regulated after miR-139-5p transfection (both  $P < 0.05$ ).

**Conclusion:** MiR-139-5p may inhibit the migration and invasion of cancer cells through regulating its target gene Notch1, so the down-regulated miR-139-5p may play an important role in the occurrence and development colorectal cancer.

[Chinese Journal of General Surgery, 2014, 23(10):1373-1378]

**KEYWORDS** Colorectal Neoplasms; MicroRNAs; miR-139-5p; Notch1

**CLC number:** R735.3

结直肠癌在女性常见癌症中发病率排名第 2 位，在男性常见癌症中发病率排名第 3 位<sup>[1-2]</sup>，且发病呈逐年上升的趋势<sup>[3]</sup>。结直肠癌发病机制目前尚未完全清楚。微小 RNA (microRNA, miRNA) 可在转录后水平对基因的表达进行负调控<sup>[4]</sup>，参与多种肿瘤的发生和发展，并在肿瘤细胞的转移和侵袭中具有重要的作用<sup>[5-8]</sup>。关于 microRNA-139-5p (miR-139-5p) 在结直肠癌发生发展中的具体作用及相关机制目前还不是很清楚。本研究通过观察结直肠癌细胞和组织标本中 miR-139-5p 表达情况，并在体外转染 miR-139-5p 后观察结直肠癌细胞转移和侵袭能力的变化，初步分析 miR-139-5p 在结直肠癌发生发展中的作用，并对 miR-139-5p 下游靶基因进行预测，为明确 miRNA-182 在结直肠癌发生发展中的作用及相关机制提供一定的科学依据。

## 1 材料与方法

### 1.1 材料

**1.1.1 临床资料** 收集 2011 年 7 月—2012 年 8 月于我院进行结直肠癌手术标本 40 例。肿瘤组织标本取自结直肠原发肿瘤组织，同时收集上(下)切缘正常黏膜作为对照，正常黏膜组织均于术后病理证实无癌组织侵犯。获取标本后迅速置于液氮中保存。所有患者术前均未接受化疗和放疗。

**1.1.2 细胞株** 正常人结肠细胞株 NCM460，结直肠癌细胞株 DLD1、HCT116、SW620、SW480、HT29、Caco2 购自中国医学科学院基础医学研

究所细胞中心。细胞培养于含 10% 胎牛血清的 RPMI-1640 及 McCoy's 5A 培养基中。

**1.1.3 主要试剂** RPMI-1640 培养基、McCoy's 5A 培养基及胎牛血清购自 Gibco 公司；转染试剂 Lipofectamine2000 及 TRIzol 购自美国 Invitrogen 公司，SYBR Green PCR 试剂盒、miR-139-5p、阴性对照 (NC)、anti-miRNA-NC 和 anti-miR-139-5p 购自 Ambion 公司；侵袭实验用 Boyden 小室购自美国 Millipore 公司；荧光素酶检测试剂盒购自美国 Promega 公司；Notch1 抗体购自美国 Santa Cruz 公司；辣根过氧化物酶 (HRP) 标记的二抗购自北京中杉金桥生物技术有限公司。

### 1.2 实验方法

**1.2.1 荧光定量 PCR (qRT-PCR)** TRIzol 提取细胞总 RNA，反转录成 cDNA。PCR 反应条件：95 ℃ 5 min, 95 ℃ 10 s, 60 ℃ 20 s, 共 40 个循环。引物序列：miR-139-5p 上游引物：5'-TCT ACA GTG CAC GTG TCT-3'，下游引物：5'-TGG AGA CGC GGC CCT GTT-3'；内参照 U6 上游引物：5'-GCT TCG GCA GCA CAT ATA CTA AAA T-3'，下游引物：5'-CGC TTC ACG AAT TTG CGT GTC AT-3'。得到的数据通过比较 CT 值法 ( $2^{-\Delta\Delta Ct}$ ) 进行定量分析。

**1.2.2 细胞转染** 细胞长至 70% 融合时可用于转染。严格按照 Lipofectamine2000 转染说明书进行操作，转染 36 h 后可用于功能实验。

**1.2.3 转移和侵袭能力检测** 采用伤口愈合实验方法检测细胞转移能力，具体操作方法参见文献<sup>[6]</sup>

报道。采用 Boyden 小室分析检测细胞侵袭能力, 具体步骤: 用于实验的细胞采用台盼蓝染色计数并重悬。将  $1 \times 10^5$  个细胞置于小室上层, 并补加培养基至 300  $\mu\text{L}$ 。下层小室中加入含 10% 胎牛血清的培养基 500  $\mu\text{L}$ 。孵育 12 h 后, 未发生侵袭的细胞用棉拭子从上层腔室除去。下层小室中的细胞以 0.1% 结晶紫固定染色, 计算出现侵袭的细胞数。

**1.2.4 miR-139-5p 靶基预测因** 通过靶基因预测软件 (miRabda, PicTar, TargetScans) 联合筛选出 Notch1 作为 miR-139-5p 的靶基因。

**1.2.5 荧光素酶报告基因验证靶基因** miRNA 靶点预测软件提示 Notch1 mRNA 的 3' 端的非翻译区 (3'UTR) 的位点 1559-1566 是 miR-139-5p 的可能结合位点 (binding site, BS), 体外合成含该位点的 DNA 片段及含该位点突变体的 DNA 片段, 克隆至双荧光素酶启动子载体 pMIR: pMIR-Notch1-3'-UTR-wt 和 pMIR-Notch1-3'-UTR-mut。将 pMIR-Notch1-3'-UTR-wt 或 pMIR-Notch1-3'-UTR-mut 及 miR-139-5p 共同转染至肺癌细胞中, 培养 48 h 后, 用荧光素酶检测试剂盒检测荧光素酶活性。

**1.2.6 Western blot 检测** 等量提取细胞蛋白经

10% SDS-PAGE 分离胶和 5% 浓缩胶分离后, 半干转印至硝酸纤维素膜上, 以含 5% BSA 的 TBST 室温封闭 2 h, 加入一抗 4  $^{\circ}\text{C}$  过夜孵育。第 2 天用 0.1% TBST 洗膜 3 次, 每次 5 min, 加入相应的 HRP 标记的二抗, 室温孵育 1 h。0.1% TBST 洗膜后, 硝酸纤维素膜以 Supersignal West Femto HRP 敏感化学发光底物对条带进行显色。actin 作为内参对照。所有实验至少重复 3 次。

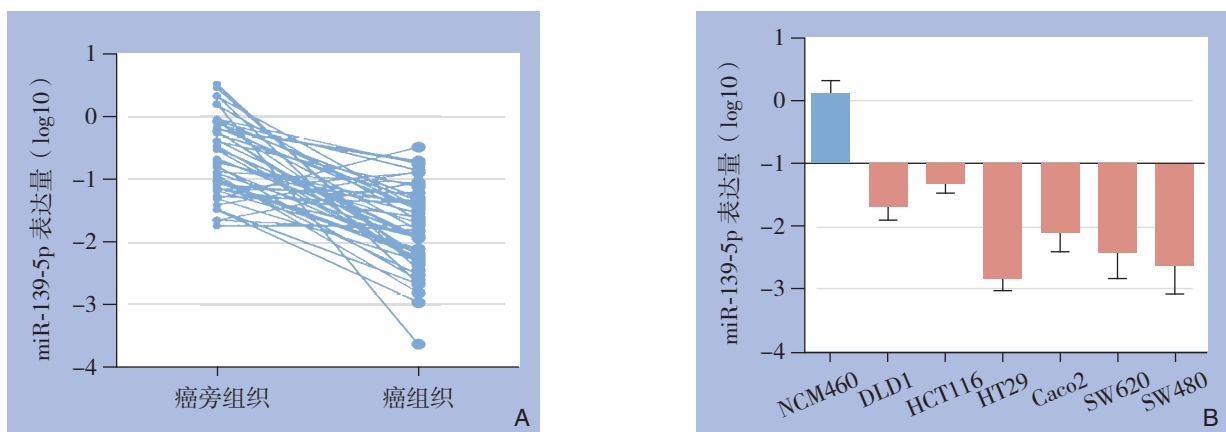
### 1.3 统计学处理

采用 SPSS 16.0 统计软件进行数据分析。2 组数据间比较采用 *t* 检验, 以  $P < 0.05$  为差异具有统计学意义。

## 2 结果

### 2.1 qRT-PCR 结果

如图 1A 所示, miR-139-5p 在结直肠癌患者组织中的表达量明显低于正常黏膜组织 ( $P < 0.01$ ); miR-139-5p 在结直肠癌细胞 DLD1、HCT116、SW620、SW480、HT29、Caco2 中的表达水平均明显低于正常结肠 NCM460 细胞 (图 1B), 差异均有统计学意义 (均  $P < 0.05$ )。



**图 1 qRT-PCR 结果** A: miR-139-5p 在结直肠癌及癌旁组织中表达; B: miR-139-5p 在正常结肠细胞与结直肠癌细胞株中表达

**Figure 1 Results of qRT-PCR** A: MiR-139-5p expressions in colorectal cancer tissue and tumor adjacent tissue; B: MiR-139-5p expressions in normal colonic cells and colorectal cancer cell lines

### 2.2 miR-139-5p 对结直肠癌细胞转移和侵袭的影响

伤口愈合实验显示, 与对照组比较, miR-139-5p 转染可明显抑制结直肠癌 DLD1 细胞和 HCT116 细胞的转移 (均  $P < 0.05$ ) (图 2A); 与对照组比

较, miR-139-5p 转染可明显抑制结直肠癌 DLD1 细胞和 HCT116 细胞的侵袭能力 (均  $P < 0.01$ ), 而 miR-139-5p 抑制剂处理可增加结直肠癌 DLD1 细胞和 HCT116 细胞的侵袭能力 (均  $P < 0.01$ ) (图 2B)。

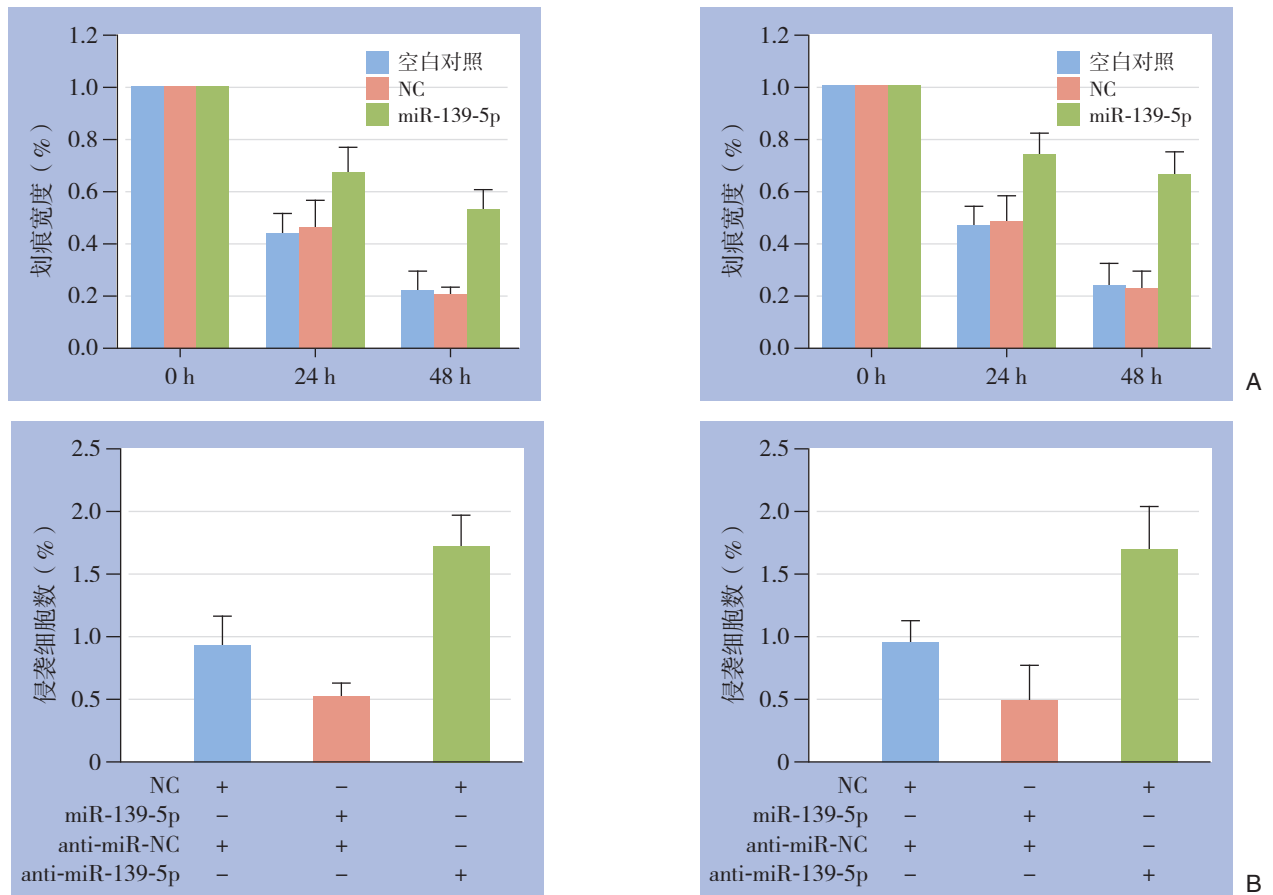


图 2 转移和侵袭实验 A: miR-139-5p 对结直肠癌细胞转移的影响; B: miR-139-5p 对结直肠癌细胞侵袭的影响

Figure 2 Migration and invasion assay A: Influence of miR-139-5p on migration of colorectal cancer cells; B: Influence of miR-139-5p on invasion of colorectal cancer cells

### 2.3 miR-139-5p 靶基因预测

通过靶基因预测软件寻找 miR-139-5p 可能作用的靶基因, 结果提示 Notch1 可能为 miR-139-5p 的功能性靶基因。miR-139-5p 预测结合的 Notch1 的 3'-UTR 的靶位点如图 3A 所示。为确定 miR-139-5p 是否和 Notch1 间存在直接的相互作用, 构建了含野生型和突变型 Notch1 的 3'-UTR 序列的 pMIR 载体。结果显示, 共转染野生型 pMIR-Notch1 3'-UTR 载体和 Notch1, 荧光素酶活性明显降低 ( $P < 0.01$ ), 而共转染突变型 pMIR-Notch1 3'-UTR 载体和 Notch1 的荧光素酶活性未出现明显改变 ( $P > 0.05$ ) (图 3B)。

### 2.4 miR-139-5p 对结直肠癌细胞 Notch1 表达的影响

Western blot 结果显示, miR-139-5p 转染后结直肠癌 DLD1 和 HCT116 细胞中 Notch1 的表达均较对照组明显降低 (均  $P < 0.05$ ) (图 4A-B)。

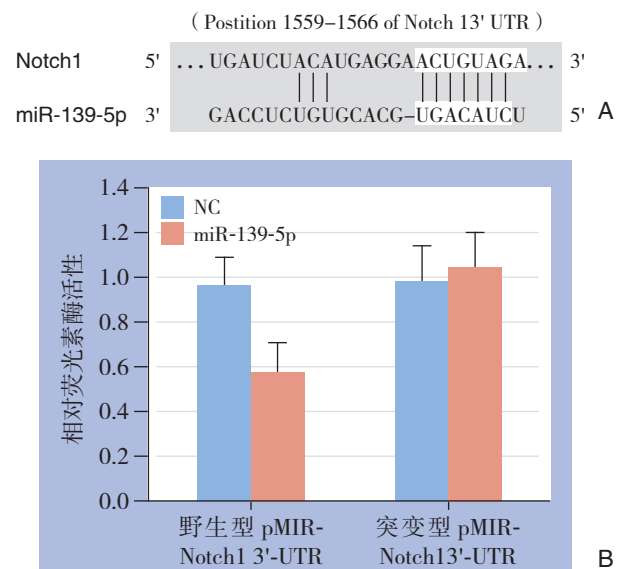


图 3 miR-139-5p 靶基因预测及验证 A: miR-139-5p 预测结合的 Notch1 3'-UTR 的靶位点结构图; B: 荧光素酶活性检测 miR-139-5p 和 Notch1 关系

Figure 3 Prediction and identification of the target gene of miR-139-5p A: Predicted 3'-UTR target sequence of Notch1 formiR-139-5p; B: Luciferase activity detection for analysis of the relationship between miR-139-5p and Notch1

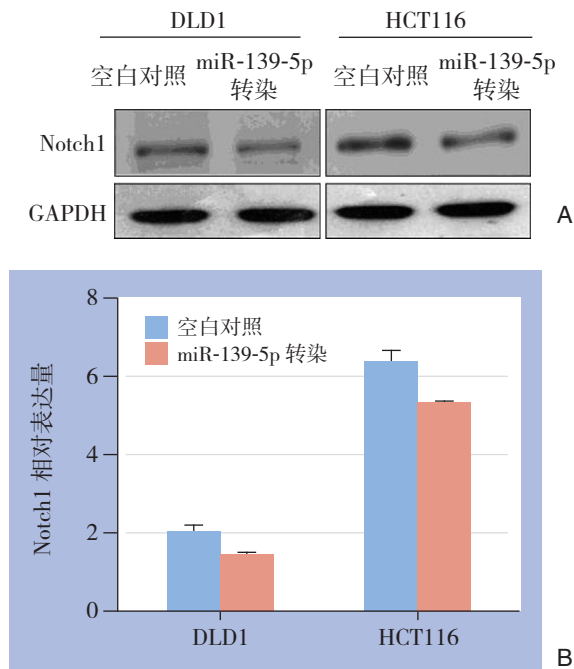


图 4 Western blot 检测 Notch1 蛋白表达 A: 电泳条带; B: Notch1 蛋白相对表达量

Figure 4 Western blot analysis for Notch1 protein expression

A: Electrophoretic band; B: Relative expression levels of Notch1 protein

### 3 讨论

miRNA 是近年来发现的一种在进化上保守的非编码小 RNA 分子, 广泛存在于动物、植物及病毒等多细胞真核生物中。miRNA 可对基因表达进行转录后调控, 在个体发育、肿瘤发生中发挥重要作用。人们通过对哺乳动物基因内源性 miRNA 基因序列的研究, 发现至少存在 1 000 个或更多不同类型的 RNA 调控着机体内大约 1/3 的基因, 参与了真核细胞的生长、发育、新陈代谢、疾病及死亡等生理病理过程。许多研究证实, 在人类多种肿瘤中 miRNA 异常表达<sup>[9-12]</sup>, 这可以为恶性肿瘤的诊断提供有用信息。

研究<sup>[13-17]</sup>表明, 在炎症性肠病相关的肿瘤组织、结直肠癌原发灶和转移灶中 miR-139-5p 的表达水平均出现显著下调。除此之外, miR-139-5p 的表达在胃癌、子宫内膜浆液性腺癌和肝癌中也出现显著下调<sup>[18-20]</sup>。本研究结果表明, miR-139-5p 在结直肠癌细胞和结直肠癌组织表达显著下调, 这一研究结果同文献报道相一致。miR-139-5p 在结直肠癌细胞和结直肠癌组织中表达下调提示 miR-139-5p 失调可能是结直肠癌发生的预警事件。

进一步的功能实验提示, miR-139-5p 可显著抑制结直肠癌细胞系 DLD1 和 HCT116 的转移和侵袭能力。其他文献<sup>[21]</sup>报道, miR-139-5p 对肺癌细胞的增殖和侵袭能力并无显著性影响。这可能是由于 miR-139-5p 在不同的肿瘤组织中其调控的靶基因不尽相同, 而其下游靶基因的生物效应决定了 miR-139-5p 的作用<sup>[22]</sup>。

由于 miRNA 下游靶基因的生物效应决定了 miRNA 的作用, 故本研究通过靶基因预测软件联合筛选出 miR-139-5p 的靶基因, 结果提示 Notch1 可能为 miR-139-5p 的靶基因。将 miR-139-5p 转入结直肠癌细胞系 DLD1 和 HCT116 后, 结果显示结直肠癌细胞系 DLD1 和 HCT116 中 Notch1 蛋白表达水平显著降低, 提示 miR-139-5p 可能是通过调节 Notch1 的表达而抑制结直肠癌细胞的转移和侵袭能力。

综上所述, 本研究对 miR-139-5p 在结直肠癌发生发展中的作用进行了观察。结果提示, miR-139-5p 可能是一类新的肿瘤抑制 miRNA。结直肠癌细胞中 miR-139-5p 表达下调, 抑制靶基因 Notch1 的表达, 从而促进结直肠癌的转移和侵袭。本研究结果为结直肠癌的发生发展提供了一种新的见解。且在结直肠癌治疗中, miR-139-5p 可作为一种潜在的治疗靶点。

### 参考文献

- [1] 刘博, 田延锋, 赵增仁, 等. microRNA-451 在结直肠癌组织中的表达及其临床意义 [J]. 中国普通外科杂志, 2013, 22(4):447-451.
- [2] Jemal A, Bray F, Center MM, et al. Global cancer statistics [J]. CA Cancer J Clin, 2011, 61(2):69-90.
- [3] 姚建峰, 孙学军, 闫立昆, 等. c-Met 在有、无肝转移结直肠癌组织中的表达差异 [J]. 中国普通外科杂志, 2014, 23(4):468-472.
- [4] 鲁艳明, 银铎, 王宁, 等. miRNA-200c 对卵巢癌细胞侵袭能力影响观察 [J]. 中华肿瘤防治杂志, 2014, 21(10):732-735.
- [5] 王球玉, 唐珺, 周欣想, 等. miR-129 在乳腺癌中表达下调及其对乳腺癌细胞迁移运动的影响 [J]. 生理学报, 2012, 64(4):403-411.
- [6] Lin Y, Wu J, Chen H, et al. Cyclin-dependent kinase 4 is a novel target in miRNA-195-mediated cell cycle arrest in bladder cancer cells [J]. FEBS Lett, 2012, 586(4):442-447.
- [7] Wang J, Gu Z, Ni P, et al. NF-kappaB P50/P65 hetero-dimer mediates differential regulation of CD166/ALCAM expression via interaction with miRNA-9 after serum deprivation, providing evidence for

- a novel negative auto-regulatory loop[J]. *Nucleic Acids Res*, 2011, 39(15):6440–6455.
- [8] Suzuki H, Tokino T, Shinomura Y, et al. DNA methylation and cancer pathways in gastrointestinal tumors[J]. *Pharmacogenomics*, 2008, 9(12):1917–1928.
- [9] Rossi S, Sevignani C, Nnadi SC, et al. Cancer-associated genomic regions (CAGRs) and noncoding RNAs: bioinformatics and therapeutic implications[J]. *Mamm Genome*, 2008, 19(7/8):526–540.
- [10] Gaur A, Jewell DA, Liang Y, et al. Characterization of microRNA expression levels and their biological correlates in human cancer cell lines[J]. *Cancer Res*, 2007, 67(6):2456–2468.
- [11] Lu J, Getz G, Miska EA, et al. MicroRNA expression profiles classify human cancers[J]. *Nature*, 2005, 435(7043):834–838.
- [12] 谢海涛. 结肠癌组织中 miR-451 表达的检测与分析 [J]. 中南医学科学杂志, 2012, 40(3):257–259.
- [13] Olaru AV, Selaru FM, Mori Y, et al. Dynamic changes in the expression of MicroRNA-31 during inflammatory bowel disease-associated neoplastic transformation[J]. *Inflamm Bowel Dis*, 2011, 17(1):221–231.
- [14] Cekaite L, Rantala JK, Bruun J, et al. MiR-9, -31, and -182 deregulation promote proliferation and tumor cell survival in colon cancer[J]. *Neoplasia*, 2012, 14(9):868–879.
- [15] Chang KH, Miller N, Kheirleiseid EA, et al. MicroRNA signature analysis in colorectal cancer: identification of expression profiles in stage II tumors associated with aggressive disease[J]. *Int J Colorectal Dis*, 2011, 26(11):1415–1422.
- [16] Shen K, Liang Q, Xu K, et al. MiR-139 inhibits invasion and metastasis of colorectal cancer by targeting the type I insulin-like growth factor receptor[J]. *Biochem Pharmacol*, 2012, 84(3):320–330.
- [17] Schepeler T, Holm A, Halvey P, et al. Attenuation of the beta-catenin/TCF4 complex in colorectal cancer cells induces several growth-suppressive microRNAs that target cancer promoting genes[J]. *Oncogene*, 2012, 31(22):2750–2760.
- [18] Guo J, Miao Y, Xiao B, et al. Differential expression of microRNA species in human gastric cancer versus non-tumorous tissues[J]. *J Gastroenterol Hepatol*, 2009, 24(4):652–657.
- [19] Hiroki E, Akahira J, Suzuki F, et al. Changes in microRNA expression levels correlate with clinicopathological features and prognoses in endometrial serous adenocarcinomas[J]. *Cancer Sci*, 2010, 101(1):241–249.
- [20] Wong CC, Wong CM, Tung EK, et al. The microRNA miR-139 suppresses metastasis and progression of hepatocellular carcinoma by down-regulating Rho-kinase 2[J]. *Gastroenterology*, 2011, 140(1):322–331.
- [21] Krishnan K, Steptoe AL, Martin HC, et al. miR-139-5p is a regulator of metastatic pathways in breast cancer[J]. *RNA*, 2013, 19(12):1767–1780.
- [22] 李谦平. miR-16-1 抑制 A549 细胞株生物学行为及非小细胞肺癌 ARID1A 基因表达的研究 [D]. 武汉: 华中科技大学, 2012:27–29.

( 本文编辑 姜晖 )

本文引用格式: 廖信芳, 李正荣, 杨清水, 等. microRNA-139-5p 及其靶基因 Notch1 在结直肠癌中的作用 [J]. 中国普通外科杂志, 2014, 23(10):1373–1378. doi: 10.7659/j.issn.1005-6947.2014.10.013  
**Cite this article as:** LIAO XF, LI ZR, YANG QS, et al. Role of microRNA-139-5p and its target gene Notch1 in colorectal cancer [J]. *Chin J Gen Surg*, 2014, 23(10):1373–1378. doi: 10.7659/j.issn.1005-6947.2014.10.013

## 《中国普通外科杂志》2013 年主要学术指标居本学科期刊前茅

据《2014 年版中国科技期刊引证报告（核心版）》报告，《中国普通外科杂志》主要学术水平衡量指标均居本学科期刊前茅。

报告显示，在与普通外科学相关的外科学类 17 种期刊中，《中国普通外科杂志》2013 年核心总被引用频次第 1，综合评价总分第 5，核心影响因子第 8，这三大指标为对科技期刊学术质量评估的主要指标。此外，杂志的即年指标、引用刊数、扩散因子、权威因子、被引半衰期等指标也达本学科前列。

中国普通外科杂志编辑部